



上海交通大学学位论文

基于数据流分析的 R1CS 语言等 价性验证及范式生成

姓 名：施宸昊

学 号：519021910434

导 师：李国强

学 院：电子信息与电气工程学院

学科/专业名称：软件工程

申请学位层次：学士

2023 年 05 月

**A Dissertation Submitted to
Shanghai Jiao Tong University for Bachelor Degree**

**DATA FLOW BASED NORMALIZATION
GENERATION ALGORITHM OF R1CS FOR
ZERO-KNOWLEDGE PROOF**

Author: Chenhao Shi
Supervisor: Guoqiang Li

School of Electronic Information and Electrical Engineering
Shanghai Jiao Tong University
Shanghai, P.R.China
May 6th, 2023

上海交通大学 学位论文原创性声明

本人郑重声明：所呈交的学位论文，是本人在导师的指导下，独立进行研究工作所取得的成果。除文中已经注明引用的内容外，本论文不包含任何其他个人或集体已经发表或撰写过的作品成果。对本文的研究做出重要贡献的个人和集体，均已在文中以明确方式标明。本人完全知晓本声明的法律后果由本人承担。

学位论文作者签名：

日期： 年 月 日

上海交通大学 学位论文使用授权书

本人同意学校保留并向国家有关部门或机构送交论文的复印件和电子版，允许论文被查阅和借阅。

本学位论文属于：

☐ 公开论文

☐ 内部论文，保密 ☐ 1 年/☐ 2 年/☐ 3 年，过保密期后适用本授权书。

☐ 秘密论文，保密 ____ 年（不超过 10 年），过保密期后适用本授权书。

☐ 机密论文，保密 ____ 年（不超过 20 年），过保密期后适用本授权书。

（请在以上方框内选择打“√”）

学位论文作者签名：

指导教师签名：

日期： 年 月 日

日期： 年 月 日

摘 要

在零知识证明中，证明者需要构建一个包含许多约束条件的系统，并证明该系统满足这些约束条件。Circom 和 R1CS 是底层工具链的重要组成部分，可以使用户轻松创建、优化和验证零知识证明系统。用户可以使用 Circom 轻松定义各种约束条件，并使用编译器将其转换为 R1CS 格式，然后将其转换为可验证的形式。然而，由于 R1CS 表示的灵活性，从具有相同语义的 Circom 程序编译的 R1CS 经常存在显著差异。这也使得验证 R1CS 的正确性和可扩展性变得困难。在本文中，我们提出了一种基于数据流的 R1CS 范式生成算法。它将 R1CS 转换为数据流图，并通过抽象处理和权重计算将等效的 R1CS 转换为相同的唯一范式。我们的模拟研究表明，在等效的 R1CS 通常产生的情况下，我们的算法可以正确生成范式。

关键词：零知识证明，R1CS，数据流图

ABSTRACT

In zero-knowledge proofs, the prover needs to construct a system that contains many constraints and prove that the system satisfies these constraints. Circom and R1CS are important components of the underlying toolchain that allow users to easily create, optimize, and verify zero-knowledge proof systems. Users can define various constraints easily with Circom and convert them to the R1CS format with a compiler, and then convert them to a verifiable form. However, due to the flexibility of the R1CS representation, R1CS compiled from Circom programs with the same semantics often differ significantly. It also makes it difficult to verify the correctness and scalability of R1CS. In this paper, we propose a data flow-based R1CS paradigm generation algorithm. It converts R1CS to a data flow graph and transforms equivalent R1CS into the same unique paradigm after abstract processing and weight calculation. Our simulation studies indicate that our algorithm can correctly generate paradigms in scenarios where equivalent R1CS are commonly produced.

Key words:Zero-knowledge proof, R1CS, Data flow graph

目 录

摘 要.....	I
ABSTRACT	II
第一章 绪论	1
1.1 研究背景和研究意义	1
1.2 研究现状	2
1.2.1 算术电路的可满足性	3
1.2.2 程序语义相似性	3
1.3 研究内容	4
1.3.1 基于数据流的 R1CS 范式算法设计	4
1.3.2 等价 R1CS 测试集的整理与生成	4
1.4 章节结构安排	4
第二章 背景知识	6
2.1 零知识证明	6
2.2 算术电路描述语言	8
2.3 一阶约束系统 (R1CS)	9
2.3.1 R1CS 的基本定义	9
2.3.2 R1CS 的生成过程	11
2.4 PageRank	13
2.4.1 传统 PageRank 算法	13
2.4.2 加权网络排名算法	15
2.5 本章小结	16
第三章 问题描述	17
3.1 等价 R1CS 约束组生成原因	17
3.2 范式生成算法目标	19
3.3 本章小结	19
第四章 算法设计	20
4.1 基本定义	20
4.1.1 R1CS 约束组	21

4.1.2	RNode	21
4.1.3	瓦片	21
4.1.4	R1CS 范式	22
4.2	RNode Graph 的生成	23
4.2.1	方案一：操作符和变量使用不同节点类型存储	23
4.2.2	方案二：操作符和变量使用相同节点类型存储	23
4.2.3	方案对比与分析	24
4.3	瓦片选取	26
4.4	抽象数据流图的生成	27
4.5	瓦片权重计算	30
4.6	约束生成	32
4.7	对线性约束的调整	33
4.8	本章小结	35
第五章	实验	36
5.1	测试集设计	36
5.2	测试结果展示与分析	37
5.3	本章小结	38
第六章	全文总结	39
6.1	主要结论	39
6.2	研究展望	41
附录		43
攻读学位期间学术论文和科研成果目录		44
致 谢		45

第一章 绪论

1.1 研究背景和研究意义

随着互联网和数字技术的飞速发展，人们对信息隐私安全性的重视程度不断提高。在这个数字化时代，个人信息已经成为了一种可被商业化和利用的商品，而随着技术的进步，这种信息泄露的风险也随之增加。因此，保护个人隐私和数据安全已经成为了当今社会亟需解决的重要问题。

尤其是在区块链领域，隐私安全和扩展性问题是大家关注的焦点。区块链是一种去中心化的技术，在这个系统中，每个参与者都能够自主地验证交易，并且所有的交易记录都是公开可见的。但是，这种公开透明的交易方式却也暴露了用户的身份和交易信息。为了保护用户的隐私，零知识证明应运而生。

零知识证明是一种可以证明某个事实或声明的方法，而不必透露与该事实或声明相关的任何其他信息。它的基本原理是让证明者通过一系列计算，向验证者证明自己拥有某种知识或权限，而不需要透露具体的信息。这种技术可以实现信息的匿名传输和保护，同时又不会泄露任何敏感信息，因此被广泛应用于密码学、金融、医疗保健、政府和监管机构等领域。在现代社会中，对于信息隐私安全性的加剧使得零知识证明在隐私方面的优势越来越得到重视。随着去中心化金融（Decentralized Finance, DeFi）使用量的增长，具有可扩展性和隐私安全性优势的零知识应用将有更多的机会提高行业的广泛采用率。

但是零知识证明并不能直接应用于任何计算问题。当我们想要使用零知识证明解决某个实际问题时，我们需要将这个问题转换成一种特定的形式，也就是二次算数程序（Quadratic Assignment Problem, QAP）。这个过程涉及到将原始的复杂代码转化为简单的表达式，并将这些表达式转化为算术电路。算术电路是由“门”和“线”组成的结构，其中“门”表示运算符，而“线”表示运算数值。

一旦我们得到了算术电路，我们就需要将其转换成一阶约束系统（Rank-1 Constraint System, R1CS）的形式。这个过程涉及到将算术电路的运算结果表示为 R1CS 约束的形式，这些约束通常是由线性方程或不等式组成的。

在这个阶段之后,我们需要将 R1CS 约束进一步转化为 QAP 形式。QAP 是一种多项式间的整除性问题,可以用来表示一组约束。这个过程涉及到将 R1CS 约束表示为 QAP 的多项式形式,并将其进一步分解成更小的多项式。

最后,我们需要为这个 QAP 创建实际的零知识证明。这个过程涉及到将算术电路的可满足性问题规约为多项式间的整除性问题,并使用随机数生成器生成证据。这个证据可以被发送给验证者进行验证,而验证者只需要检查证据是否正确,而不需要知道证据本身的内容。

需要注意的是,整个过程都非常复杂,需要进行大量的计算和处理。在实践中,人们通常使用特定的软件和工具来完成这个过程,以确保零知识证明的正确性和安全性。

在零知识证明的底层工具链中由电路语言到 R1CS 约束这一步转换存在着很多局限,首要问题就是 R1CS 的可合并性较差。由代码段 A 与代码段 B 合并后所生成的 R1CS 与代码段 A 和代码段 B 独立生成的两个 R1CS 从形式上看可能毫无关联,这也为我们验证所生成 R1CS 的正确性带来了许多困难。而这与 R1CS 本身表达能力局限性有关外,根本原因便是相同语义的程序本身可以生成多个等价的 R1CS 约束, R1CS 约束组中约束之间的合并与拆分也会导致 R1CS 在形式上发生变化。所以我们需要在等价的 R1CS 约束组中提出 R1CS 约束组的范式构造方式,使得对于不同的 R1CS 约束,我们可以较容易地判断其等价性和正确性。这对我们验证程序的等价性以及正确性,包括后续更加深入研究 R1CS 的可合并性方面都将大有裨益。

1.2 研究现状

目前,国内外关于零知识证明所发表的论文,大部分集中在对算术电路可满足性的验证方面,所以导致关于 R1CS 范式生成的相关资料较少。但是,如果将电路语言与 R1CS 看作是编译前后的两种语言,将等价的 R1CS 归纳到统一的范式与程序间语义相似性的研究方向较为接近,而在这方面,国内外研究较为丰富。因此本节主要从 R1CS 可满足性研究以及编译一致性两个方面来展开介绍。

1.2.1 算术电路的可满足性

在零知识证明程序中，需要解决的问题首先要被转化成多项式，再进一步转化成电路。这一类零知识证明体系在现今非常常见，其代表方案有 PGHR13、Groth16、GKMMM18 等。这些方案的逻辑基本上遵循以下范式：首先将计算函数转化成算术电路；然后利用 QAP。将算术电路可满足性问题规约成多项式间的整除性问题；最后设计方案，使得方案满足完备性、可靠性和零知识性。

Eli 等人为 R1CS 设计、实现并评估了一个零知识简洁非交互式论证。它使用轻量级密码学，对于一个由 n 个约束条件组成的约束系统，它生成的可满足性的证明的大小为 $O(\log^2 n)$ ，并且该证明可以在 $O(n \log n)$ 的操作次数下生成，并在 $O(n)$ 的时间内进行验证。相比于之前类似的零知识非交互式论证，他的效率高达十倍以上。

Jonathon 等人提出了 Cerberus，这是一个高效的交互式证明系统，将证明 R1CS 实例的可满足性的证明规模和验证者的时间减少到多棵树时间，从而得到了目前最快的且后量子安全的验证器。

1.2.2 程序语义相似性

目前国内外的专利申请和研究论文提出了在编译过程中衡量程序相似程度的想法和解决方案，主要探索了数据流、语法树或语义映射等方面。这些研究为编译过程中语义一致程序所涉及的基本信息提供了关键见解。

袁子牧等人发明了一种源代码与二进制代码间的语义比对方法和装置，通过提取出源代码与二进制代码间的关键变量的数据流分析生成抽象语法树，判定源代码与二进制代码之间的语义相似性。

赵长海等人提出了基于编译优化和反汇编的程序相似性检测方法，通过对汇编指令集合的分析，先筛选出对程序影响不大的变量，并且从程序集合中聚类出相似的程序子集，从代码段这一更宽泛的角度上进行测评对比，对程序之间的相似性进行检测。

Aravind 等人通过捕获程序的逻辑控制流，将程序片段转换成为控制流图。他们应用图神经网络来测量程序流图之间的相似性，并以此来估计程序的相似性。该方案实现了较低的错误率，具有更快的速度和更好的扩展性。

1.3 研究内容

1.3.1 基于数据流的 R1CS 范式算法设计

本文以数据流为基础,设计了 R1CS 约束组到数据流图的生成算法。同时根据等价 R1CS 约束组生成的特点和规律,对原始的数据流图进行了分割与抽象。对 R1CS 约束组中的约束以及变量的排序提出了一系列权重计算准则,以确定 R1CS 范式中约束和变量的具体排列顺序。

1.3.2 等价 R1CS 测试集的整理与生成

通过阅读当前主流编译器的源码以及相关文档,总结出目前主流编译器的约束生成逻辑以及 R1CS 的约束表达特性,并且对等价 R1CS 生成的不同原因及特点进行了划分与总结。并且根据所总结出的等价 R1CS 产生原因,我们制作了相对完备的测试集。目前,本文所提出的算法能通过测试集中所有的用例。也就是说,在不同情形下,等价的 R1CS 均能被转换至唯一并且相同的范式。

1.4 章节结构安排

本文共有六个章节,其主要内容如下所示:

第一章为绪论部分。寻论中阐述了本文的研究背景与意义,目前国内外对于 R1CS 和范式生成的研究现状,以及本文的研究内容。

第二章是对本文所用到的背景知识以及跟本研究密切相关的工作介绍。具体包括零知识证明的相关知识,其底层工具链中所应用的电路语言以及 R1CS,还有本文所提出的算法中所应用及参考的相关算法。

第三章是问题描述。主要介绍了等价 R1CS 约束组产生的原因,以及本文所提出的算法需要解决的问题。

第四章是算法的基本流程。以两个等价的 R1CS 为例,介绍了算法中各阶段的转化步骤。算法的主要步骤包括:数据流图的建立、瓦片的划分、数据流图的抽象、瓦片权重的计算以及范式的最终生成等步骤。

第五章是实验部分。在研究过程中,通过阅读主流由电路语言到 R1CS 的编译器的源码与相关文档,总结了等价 R1CS 的生成原因,并且根据原

因不同整理出了五个方面的测试集。通过分析算法在这几个测试集上的表现，来评估范式生成算法的最终效果。

第六章是总结与展望，主要是总结了本文研究的一些贡献和局限性，为未来更加全面的范式生成算法提出展望。

第二章 背景知识

本章是对本论文的背景知识的阐述。在本章节中，首先介绍了本研究所属的领域：零知识证明；其次介绍了零知识证明中将证明者的需求转换成可计算问题的过程中与本研究密切相关的两个工具：电路语言与一阶约束系统 (Rank-1 Constraint System, R1CS)，并简单介绍了零知识证明中计算问题的转化过程；最后，介绍了本论文所实现的范式生成算法中处理数据流图时所借鉴的 Weighted Pagerank 算法。

2.1 零知识证明

当敏感信息需要保护时，隐私和安全性变得至关重要。在 20 世纪 80 年代初，S.Goldwasser、S.Micali 以及 C.Rackoff 提出了一种名为零知识证明 (Zero-Knowledge Proof) 的密码学协议，使得证明者可以向验证者证明某个论断是正确的，而不需要泄漏任何关于被证明消息的信息。这种协议实质上是一种涉及两方或多方的协议，由一系列步骤组成，以完成某项任务。

在一个典型的零知识证明中，证明者必须证明自己拥有特定的信息，但不能将该信息直接传递给验证者。相反，证明者必须找到一种方式，通过执行一些操作，向验证者证明他们拥有所需的信息。验证者可以检查操作结果，并得出结论，而无需了解证明者拥有的任何详细信息。

零知识证明在密码学领域非常有用，并已被广泛应用于各种场景，例如数字货币交易、身份验证、电子选举等。通过将其应用于验证过程中，我们可以有效地解决许多问题，例如如何在不暴露敏感信息的情况下进行验证，以及如何保护隐私并增强安全性。

Zk-SNARKs 是零知识证明中应用最广泛的技术，它表示“Zero-Knowledge Succinct Non-Interactive Argument of Knowledge”，也就是零知识简明非交互式知识。它可以让一个人证明自己拥有某些信息，而不需要透露这些信息。相反，证明者只需向验证者提供一个非常短的证明即可。这种证明具有高度的压缩性，可以在几百个字节内完成。

Zk-SNARKs 工作的原理是将要证明的语句转换为一个计算机程序，并通过这个程序来生成一个证明。这个证明由证明者提供给验证者，验证者可以使用这个证明来验证声明的真实性，从而达到零知识证明的目的。整

这个过程是非交互式的，因此可以保护隐私和安全性。尽管在安全性和隐私性方面具有显著优势，但其生成证明的计算成本较高，具体过程如图2-1所示。

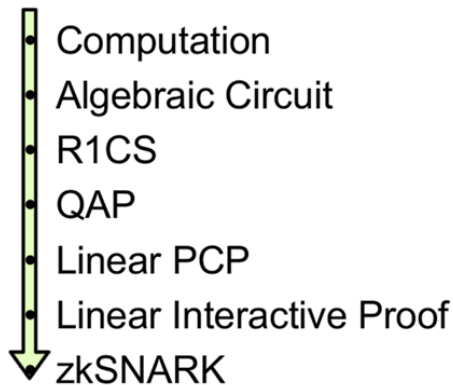


图 2-1 ZK-SNARKs 工作原理具体流程

总之，zk-SNARKs 工作原理可以分为以下步骤：首先，当用户将其需要验证的信息转换成一个数学问题时，这个过程通常称作计算（Computation）。计算可以使用任意图灵完全的编程语言实现，比如 C、Python 和 Solidity（用于 Ethereum 智能合约编程），因为 zk-SNARKs 算法不依赖于特定的编程语言。

然后，计算的结果通常被转化成一个算术电路（Arithmetic Circuit），它是一种表示计算过程的数据结构。算术电路包含多个门（Gate），每个门执行一个基本的计算操作，比如加法或乘法。整个算术电路可以用于生成可验证的算术电路（R1CS），它是基于约束的公式系统的形式，这个公式系统表达了算术电路的约束条件，将在后续章节进行详细介绍。可验证的算术电路是 zk-SNARKs 算法的输入之一。

接下来是 QAP（Quadratic Arithmetic Program）阶段，其中可验证算术电路被进一步转换为 QAP 格式。QAP 是一种公式系统，其中多项式表示了算术电路的行为。QAP 使得 zk-SNARKs 算法的实现更加高效，同时提高了安全性。

最后是 zk-SNARK 阶段。在这个阶段，可验证算术电路和 QAP 被用来生成证明（Proof）。

Zk-SNARKs 是一种强大的隐私保护工具，可以用于数字支付、区块链技术和其他领域。它可以通过验证信息的真实性，同时保护用户的隐私。虽然 zk-SNARKs 的工作原理比较复杂，但这一技术已经被广泛应用，为数字化世界带来更高的安全性和隐私保护。

2.2 算术电路描述语言

当今数字世界中的许多重要问题，例如如何在不泄露私人信息的情况下验证身份、如何保护隐私数据不被非法利用等，都可以通过零知识证明技术来解决。其中，算术电路作为描述和计算各种复杂运算的重要工具，在零知识证明中扮演着不可或缺的角色。

具体来说，算术电路可以用于描述和计算各种类型的算术运算，例如加法、乘法、除法等。通过将这些基本运算进行组合，可以构建出复杂的算术电路，用于实现各种计算任务。在零知识证明中，算术电路通常用于描述交易验证和状态转换等计算任务，例如验证一笔交易的签名是否正确、验证账户余额是否足够等。

此外，算术电路还可以用于实现零知识证明系统中的密码学哈希函数。哈希函数是一种将任意长度的消息映射到固定长度的摘要的算法，具有不可逆、唯一性和抗碰撞等特性。密码学哈希函数可以用于实现数字签名、密钥派生和消息认证码等重要的密码学协议。在零知识证明中，密码学哈希函数通常用于计算证明的哈希值，以保证证明的安全性和不可伪造性。

在零知识证明体系中，存在许多常见的算术电路描述语言，包括 Arithmetic、libsnark DSL、Circom 等，通常用于构建和验证零知识证明系统。算术电路描述语言可以描述各种类型的算术电路，例如线性约束系统（Linear Constraint Systems, LCS）、双线性配对（Bilinear Pairings）和量子电路等。在本章节中，主要介绍 zk-SNARKs 底层中用于描述算术电路的 Circom 语言。

Circom 是一种用于描述算术电路的领域特定语言（DSL），旨在为零知识证明系统的开发和部署提供方便和高效的工具。它基于 JavaScript 语言，可以轻松地与其他区块链和密码学工具集成，提供了一种简洁而强大的方式来描述和实现各种算术电路。

Circom 具有许多优点，其中之一是它具有高度模块化的结构，使得电

路的设计和实现变得非常简单和灵活。用户可以通过 Circom 内置的语法和函数来描述各种基本运算，例如加法、乘法、除法等，也可以通过组合这些基本运算来构建出复杂的算术电路，以实现各种计算任务。此外，Circom 还支持用户自定义函数和类型，以满足不同的需求。

另一个重要的优点是 Circom 提供了一个自动优化工具，可以对电路进行优化和简化，以提高性能和效率。优化工具会自动检测和消除无用的计算和冗余的逻辑门，从而减少电路的大小和运行时间，并提高证明的速度和可靠性。这使得开发人员可以专注于电路的功能和逻辑，而无需担心性能和优化问题。

此外，Circom 还支持零知识证明系统中的一些关键功能，例如范围证明、批量验证、证明可组合性等。这些功能可以使零知识证明系统更加安全、高效和灵活，满足不同的应用场景和需求。

最后，Circom 还提供了丰富的文档和示例，帮助用户快速了解和使用该语言。用户可以通过阅读文档和参考示例来学习 Circom 的基本语法和使用方法，也可以通过讨论和交流社区来获取更多的支持和帮助。

总之，Circom 是一种强大而灵活的算术电路描述语言，它为零知识证明系统的开发和部署提供了方便和高效的工具。通过 Circom，开发人员可以轻松地实现各种复杂的算术运算和逻辑，并将其集成到零知识证明系统中，以实现各种实际应用场景。

2.3 一阶约束系统 (R1CS)

2.3.1 R1CS 的基本定义

Rank-1 Constraint Systems (R1CS) 是一种用于描述约束系统的数学模型。在零知识证明系统中，R1CS 是最常用的约束系统模型之一，因为它可以转换为 QAP (Quadratic Arithmetic Programs) 和零知识证明系统的 SNARKs (Succinct Non-Interactive Arguments of Knowledge) 和 STARKs (Scalable Transparent Arguments of Knowledge)。

R1CS 是由一系列三元向量组 $(\vec{a}, \vec{b}, \vec{c})$ ，而对于每一个 R1CS 约束组，都

存在一个解向量 \vec{s} ，其中 \vec{s} 必须满足等式：

$$\langle \vec{s}, \vec{a} \rangle * \langle \vec{s}, \vec{b} \rangle = \langle \vec{s}, \vec{c} \rangle \quad (2.1)$$

此处：

$$\langle \vec{s}, \vec{a} \rangle = s_1 \cdot a_1 + s_2 \cdot a_2 + \dots + s_n \cdot a_n \quad (2.2)$$

一个约束被满足的 R1CS 如图2-2所示。

s a		s b		s c			
1	5	1	1	1	0		
3	0	3	0	3	0		
35	0	35	0	35	1		
9	0	9	0	9	0		
27	0	27	0	27	0		
30	1	30	0	30	0		
35		1		35		= 0	
		*		-			

图 2-2 一个约束被满足的 R1CS

在 R1CS 中，每一个三元变量组都对应一个在 Circom 构建的一个约束条件，而，解向量 \vec{s} 可以看作是 R1CS 中所用到的变量的取值，而向量 $(\vec{a}, \vec{b}, \vec{c})$ 中，对应下标的值则是对应在解向量 \vec{s} 该下标所表示的变量在这一约束中的系数。而 R1CS 中的每一个约束，都对应一个电路中的乘法门。将所有约束组合起来，就得到了一个一阶约束系统。

基本上，R1CS 约束系统采用广义线性规划技术来解决问题，最终目标是找到一组变量值，使得满足所有约束并且计算结果与预期输出相匹配。在这个过程中，证明者需要提供一组响应，以便验证者可以验证他们声称的正确性。

基本上，R1CS 约束系统采用广义线性规划技术来解决问题，最终目标是找到一组变量值，使得满足所有约束并且计算结果与预期输出相匹配。在这个过程中，证明者需要提供一组响应，以便验证者可以验证他们声称的正确性。

与传统的零知识证明系统相比，R1CS 具有更高的灵活性和可扩展性。它能够适用于各种不同类型的问题，例如数字货币交易、区块链智能合约、隐私保护等。同时，R1CS 还可以通过零知识证明技术实现数据共享和验证，大大提高了数据的安全性和可靠性。

在实际应用中，R1CS 系统已经被广泛采用。例如，在数字货币交易中，用户需要证明自己拥有一定数量的数字货币，而不需要将具体的交易信息公开。这时，R1CS 可以作为一种有效的证明方式，保护用户的隐私。此外，R1CS 还可以用于智能合约的验证和执行、密码协议的设计等方面。

2.3.2 R1CS 的生成过程

在本章节中，将通过实例介绍如何从实际的代码中生成 R1CS 约束组。我们选用的例子如图2-3中的代码片段所示。

```
def qeval(x):
    y = x**3
    return x + y + 5
```

图 2-3 R1CS 生成实例代码片段

第一步叫做“拍平”。在这个步骤中，我们将原代码片段中可能包含的复杂运算符和表达式拆分并转化成更加简单的表达式，这些表达式有两种形式：

1. $x = y$ ，此处 y 可以是变量或者常数
2. $x = y(op)z$ ，此处 op 可以是 $+, -, \times, \div$ ， y 和 z 可以是变量或者常数

这些化简后的表达式每一个都可以被看作是数字电路中的一个逻辑门。对于实例代码片段，这阶段的拍平操作的结果为

$$\begin{aligned} \text{sym}_1 &= x * x \\ y &= \text{sym}_1 * x \\ \text{sym}_2 &= y + x \\ \sim out &= y + x \end{aligned}$$

可以看出化简后的表达式与源代码片段是等价的，只是加入了一系列的新变量，来储存幂函数和连加式子中的中间结果。

然后，我们将其转换为称为一阶约束系统 (R1CS) 的内容。将逻辑门转换为三元组有一种标准的方法，具体取决于操作符的种类，以及参数是变量还是数字。每个向量的长度等于系统中所有变量的总数，包括一个虚拟变量 $\sim one$ 在第一个索引位置表示数字 1、输入变量、一个虚拟变量 $\sim out$ 表示输出，然后所有中间变量（如上述的 sym_1 和 sym_2 ）。向量通常会非常稀疏，因为非零元素只会填入与某个特定逻辑门相关的变量对应的槽位。

首先，需要设定好将要使用的变量映射，也就是整个 R1CS 中所用到的变量与向量中的元素的对应关系。此处的变量映射为：

$$(\sim one, x, \sim out, sym_1, y, sym_2)$$

然后，根据对应拍平步骤中产生的表达式中变量的系数，依次生成约束。为各个表达式生成的三元向量组如表2-1所示。

表 2-1 表达式和 R1CS 三元向量组

表达式	R1CS 三元向量组
$sym_1 = x * x$	$\vec{a}=(0,1,0,0,0,0)$
	$\vec{b}=(0,1,0,0,0,0)$
	$\vec{c}=(0,0,0,1,0,0)$
$y = sym_1 * x$	$\vec{a}=(0,0,0,1,0,0)$
	$\vec{b}=(0,1,0,0,0,0)$
	$\vec{c}=(0,0,0,0,0,1)$
$sym_2 = y + x$	$\vec{a}=(0,1,0,0,1,0)$
	$\vec{b}=(1,0,0,0,0,0)$
	$\vec{c}=(0,0,0,0,0,1)$
$\sim out = sym_2 + 5$	$\vec{a}=(5,0,0,0,0,1)$
	$\vec{b}=(1,0,0,0,0,0)$
	$\vec{c}=(0,1,0,0,0,0)$

在更加正式的定义中，R1CS 是三个矩阵 (A, B, C) 的集合，矩阵的每一行都由对应的拍平后的表达式组成。在这样的定义下，R1CS 所要满足的等式为

$$(A * \vec{s}^T) \cdot (B * \vec{s}^T) - (C * \vec{s}^T) = 0 \quad (2.3)$$

此处 * 表示矩阵乘法， \vec{s}^T 表示解向量的转置。

2.4 PageRank

2.4.1 传统 PageRank 算法

随着网络的迅速发展，根据用户的查询向他们提供最高质量的网页变得越来越困难。其原因在于有些网页与其对自身的描述相去甚远，且有些网络链接仅仅是超链接，仅仅为了导航而存在。因此，仅仅通过一个依靠网页的搜索引擎来寻找合适的页面内容或者利用超链接信息都是非常困难的。

为了解决上述问题，谷歌开发了 PageRank 算法，根据网络结构来对页面进行排名。PageRank 算法的核心思想是，一个网页的权重取决于链接到它的其他网页的数量和质量。它通过标题标签和关键词等因素，检索与给定查询相关的页面列表。然后，它使用 PageRank 来调整结果，以便在页面列表的顶部提供更多更重要的页面。

该算法指出，如果一个页面有重要的链接，那么它与其他页面的链接也会变得重要。因此 PageRank 将反向链接考虑在内，并通过链接传递排名：如果一个页面的反向链接的排名之和很大，那么该页面就有很高的排名。图2-4显示了以恶搞反向链接的例子：A 页是 B 页和 C 页反向链接，而 B 页和 C 页是 D 页的反向链接。

PageRank 算法的主要步骤如下：

1. 构建图结构：首先，需要将互联网上的网页和链接转换成图结构。在该结构中，每个网页对应一个节点，每个链接对应一个指向连接的网页的有向边。
2. 计算每个页面的初始得分：在 Pagerank 中，每个页面的初始得分都设置为 1。这意味着，最初，每个节点具有相等的得分。

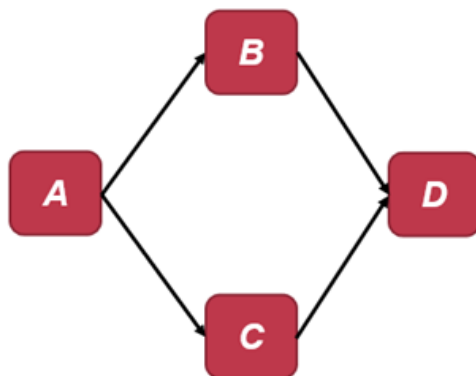


图 2-4 一个反向链接的例子

3. 迭代计算每个页面的得分：每个节点的得分是根据其传入链接进行迭代计算的，并在每次迭代中平均到其传出链接上。迭代公式为：

$$PR(u) = (1 - d) + d * \sum_{v \in B(u)} \frac{PR(v)}{N_v} \quad (2.4)$$

其中 u 表示一个网页， $B(u)$ 是指向 u 的页面集合。 $PR(u)$ 和 $PR(v)$ 分别是页面 u 和 v 的排名分数。 N_v 表示 v 的外向链接数。 d 是一个阻尼系数，通常被设为 0.85，也可以把 d 看作是用户跟踪链接的频率，可以把 $1 - d$ 看作是来自非直接链接的页面的贡献。图2-6展示了 PageRank 迭代的过程。

4. 考虑链接的数量和质量：除了节点之间的关系，PageRank 还考虑指向网页的链接的数量和质量。来自高质量网站的链接可能比低质量网站的链接更有价值。因此，在计算得分时，算法根据链接的数量和质量对链接进行加权。
5. 迭代直到收敛：当节点的得分稳定时，算法停止迭代。这表示所有节点的最终得分已经确定，可以用于排名搜索结果。

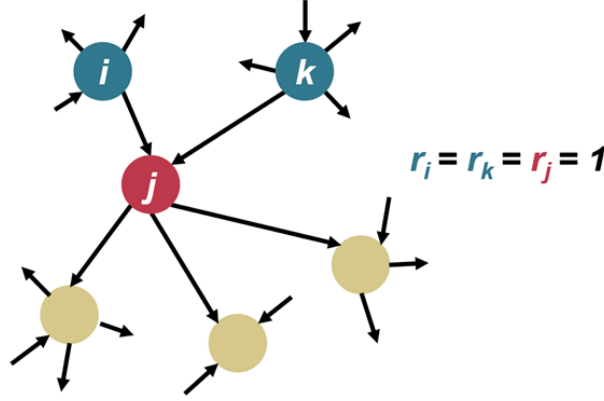


图 2-5 PageRank 算法的初始阶段

2.4.2 加权网络排名算法

在实际的网络中，一个网络中的一些链接可能比其他的更重要。针对这个特性，Ali 等人提出了加权 PageRank 算法。该算法没有将一个页面的排名值平均分配给它的外链界面，而是分配给更重要的页面。每个外链页面得到的数值和它的受欢迎程度，也就是它的内链和外链数量，成正比。从内链和外链来看，受欢迎程度分别被记作 $W_{(u,v)}^{in}$ 和 $W_{(u,v)}^{out}$ ，计算公式分别为

$$W_{(u,v)}^{in} = \sum_{p \in R(v)} \frac{I_u}{I_p} \quad (2.5)$$

$$W_{(u,v)}^{out} = \sum_{p \in R(v)} \frac{O_u}{O_p} \quad (2.6)$$

其中 I_u 和 I_p 分别代表页面 u 和页面 p 的内链数量。 O_u 和 O_p 分别代表页面 u 和页面 p 的外链数量。 $R(v)$ 表示页面 v 的参考页面，也就是边 (u, v) 中页面 u 所有外链的目标页面的集合。

考虑到页面的重要性，最初的 PageRank 公式被修改为

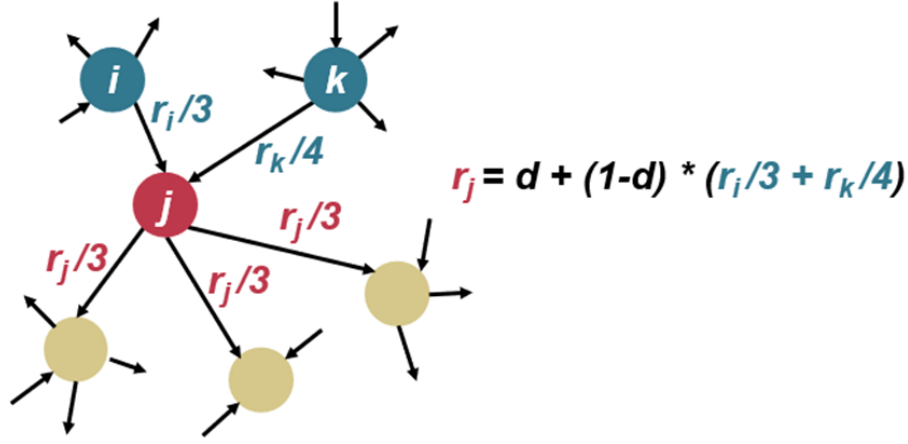


图 2-6 PageRank 算法的迭代过程

$$PR(u) = (1-d) + d * \sum_{v \in B(u)} PR(v) W_{(u,v)}^{in} W_{(u,v)}^{out} \quad (2.7)$$

经过测试，与传统的 PageRank 算法相比，加权 PageRank 算法能够识别更多的与给定查询相关的网页。

在本论文所提出的算法中，采用了调整后的加权 PageRank 算法，来计算数据流图中的各个节点的权重，以便对生成的范式中的约束和变量进行排序。

2.5 本章小结

本章主要介绍了本论文的一些背景知识。首先有本文与零知识证明有着非常紧密的关系，介绍了本文设计的零知识证明体系 zK-SNARKs 以及其它几种常见的零知识证明体系。其次，由于零知识证明底层的工作原理非常的复杂，所以又详细介绍了与本文研究内容密切相关的两个工具：数字电路和一阶约束系统。最后，介绍了本文所提出算法中在分析数据流图时进行参考的 PageRank 算法以及改良后的加权 PageRank 算法。

第三章 问题描述

本章节主要介绍在将电路语言编译成为 R1CS 约束组的过程中存在的限制与问题，介绍了等价 R1CS 约束组及其产生的原因，并且指出了本文所提出的算法所要解决的问题。

3.1 等价 R1CS 约束组生成原因

在零知识证明底层的实现中，往往首先要将所要解决的问题转化成数字电路，在 zk-SNARKs 中，就需要将具体的计算问题转化到数字电路，再由编译器将数字电路转化成 R1CS 约束组。

在数字电路中，变量的值是用电路门之间的连线表示的。但是变量的值会随着时间的变化，电路中连线的值却是固定不能改变的。因此在将计算问题转化到数字电路的过程中，需要引入大量的中间变量表述随循环而不断变化的各阶段的变量值。图3-1展示了一个程序片段添加中间变量前后的变化以及相对应的数字电路结构。

而编译器将数字电路转化至 R1CS 这一步骤，实际上就是以编译器内部的逻辑，对数据电路的结构进行分割，并且将分割下来的每一个子图转化为一阶约束，最后将这些子图所转化出的一阶约束合并在一起，得到完整的 R1CS。

显然，在分割这一步，存在着很多逻辑上不确定的问题。对数字电路最简单且直接的分割方法显而易见，那就是将每个乘法门和加法门都单独分割开来，但是这样一来，最后生成的 R1CS 约束组中会含有大量的约束与中间变量，导致系数矩阵非常的系数。因此主流的电路语言编译器会在门与门之间进行合并，以生成更加紧凑的 R1CS 约束组。根据 R1CS 所要满足的等式的特性，乘法门可以与加法门合并，加法门可以与相邻的加法门的合并。但是由于不同编译器之间对于该合并的逻辑实现不同，中间变量的选择与合并的结果也往往不同，最终导致相同的数字电路，所分割出的约束表达也不同。这就是为什么编译出的结果尽管正确，但是仅凭肉眼难以辨别其等价性的原因。同时等价 R1CS 约束组这种在形式上的多样性也使对 R1CS 正确性的判别难度大大提高。

除了约束间不同的合并策略之外，在电路语言中，一些等价的程序变

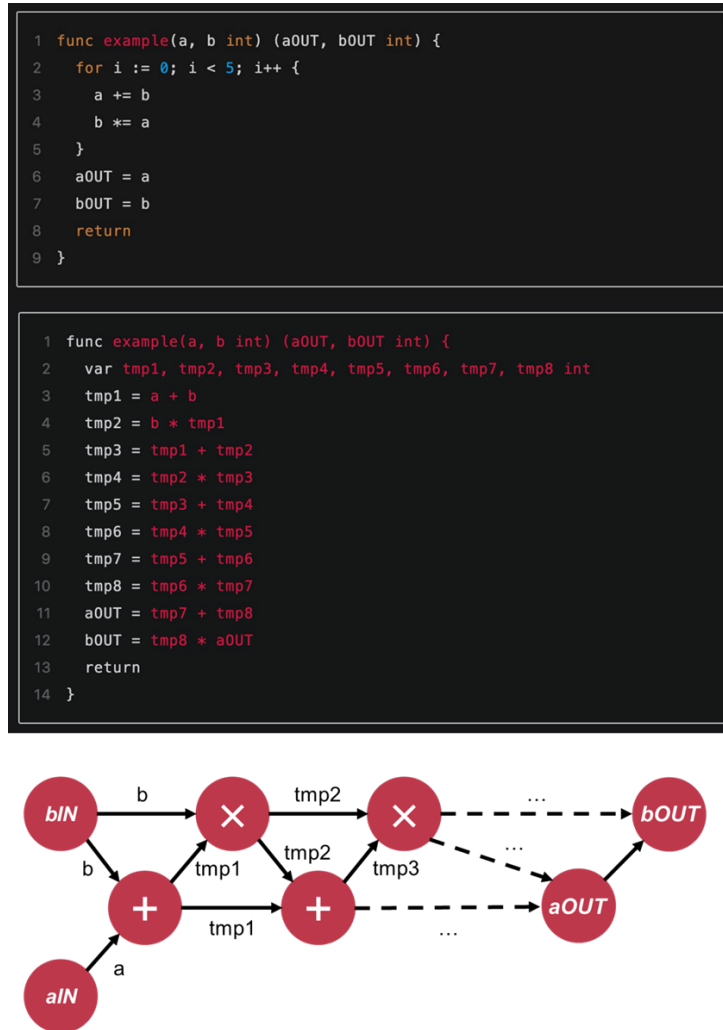


图 3-1 添加中间变量前后的程序片段以及相对应的数字电路

化也会引起所编译出的 R1CS 约束组有所不同，而由于编译器直接与数字电路描述语言为输入，并不能很好的识别语义上的等价性。比如，改变电路语言中信号量的定义顺序，对整个程序的语义来说显然是没有影响的，但这一调整往往会改变该变量在整个程序中权重，进而影响变量与所生成的 R1CS 约束组解向量中的映射关系，进一步改变约束之间的合并选择以及约束在 R1CS 约束组中的排列顺序。

3.2 范式生成算法目标

本文旨在提出基于数据流分析的 R1CS 约束组的范式生成算法，使得对输入的等价 R1CS 约束组，经过一系列的抽象与转换，能最终输出相同且唯一的范式。根据当前主流编译器中所存在的局限性，本算法需要解决以下几个问题：

1. 根据输入的 R1CS 约束组生成数据流图，以重现变量之间的逻辑关系。
2. 对数据流图的统一化划分，以确定 R1CS 范式中约束之间的合并与分割情况。
3. 对约束的顺序以及 R1CS 解向量中变量的映射顺序提出排序标准，以解决 R1CS 约束组三元矩阵组中的三个矩阵同时进行相同行列变化时所产生的等价 R1CS 约束组的凡是生成问题。

3.3 本章小结

本章主要介绍了不同的数字电路编译器所产生的等价 R1CS 在形式上存在很大不同以及等价 R1CS 约束组产生在编译器底层逻辑层面上的原因，并通过举例说明了即使是相同语义的电路语言程序片段，也能编译产生不同的 R1CS 约束组。最后根据编译器底层逻辑的不足之处，提出了本文算法所需要达成的目标。

第四章 算法设计

本章主要介绍了本论文中所提出的 R1CS 范式生成算法。首先介绍了本算法中使用的数据结构。然后以两个等价的 R1CS 约束组为例，详细介绍了算法各个步骤的具体输入与输出，以及该算法是如何在抽象过程中消除等价 R1CS 约数组之间的不同之处的。

本章节中所使用的两个等价约束组如下所示。

约束组 A:

$$A = \begin{pmatrix} 0 & 1 & 0 & 0 & 0 & 0 \\ 0 & 0 & 0 & 1 & 0 & 0 \\ 0 & 1 & 0 & 0 & 1 & 0 \\ 5 & 0 & 0 & 0 & 0 & 1 \end{pmatrix} \quad B = \begin{pmatrix} 0 & 1 & 0 & 0 & 0 & 0 \\ 0 & 1 & 0 & 0 & 0 & 0 \\ 1 & 0 & 0 & 0 & 0 & 0 \\ 1 & 0 & 0 & 0 & 0 & 0 \end{pmatrix} \quad C = \begin{pmatrix} 0 & 0 & 0 & 1 & 0 & 0 \\ 0 & 0 & 0 & 0 & 1 & 0 \\ 0 & 0 & 0 & 0 & 0 & 1 \\ 0 & 0 & 1 & 0 & 0 & 0 \end{pmatrix}$$

约束组 B:

$$A = \begin{pmatrix} 0 & 1 & 0 & 0 \\ 0 & 1 & 0 & 0 \end{pmatrix} \quad B = \begin{pmatrix} 0 & 1 & 0 & 0 \\ 0 & 0 & 0 & 1 \end{pmatrix} \quad C = \begin{pmatrix} 0 & 0 & 0 & 1 \\ -5 & -1 & 1 & 0 \end{pmatrix}$$

不难发现，约束组 B 是由约束组 A 将自己的后三个约束合并，再经过一些变量顺序的交换而生成的。

4.1 基本定义

本章节主要介绍本论文所提出算法的过程中，使用到的一些特殊的数据结构和概念，以便对后续算法具体步骤进行理解。同时也对本论文所提出的 R1CS 范式的具体要求进行了介绍。

4.1.1 R1CS 约束组

R1CS 约束组是三个矩阵 (A , B , C) 的集合, 矩阵的每一行表示一个单独的约束, 同时矩阵中的值表示对应变量在该约束中的系数。每个 R1CS 都含有一个解向量 s , 其中存储了 R1CS 约束组中所涉及的变量和矩阵列数下标的映射关系。在这样的定义下, R1CS 所要满足的等式为

$$(A * \vec{s}^T) \cdot (B * \vec{s}^T) - (C * \vec{s}^T) = 0 \quad (4.1)$$

此处 $*$ 表示矩阵乘法, \vec{s}^T 表示解向量的转置。

在本论文中, 将 R1CS 约束组中的约束分为了两种类型:

1. 线性约束: 只需使用常数和变量之间的乘法和加法即可表示的约束。
比如 $a + b = c$ 和 $5 \times a + b = d$ 。

4.1.2 RNode

在算法中, 设计了 RNode 数据结构, 用于存储 R1CS 约束组中的基本信息。在生成的数据流图中, 存在着两种类型的 RNode 类型, 一种存储 R1CS 约束组解向量 \vec{s} 中所存储的变量映射中的变量, 与 R1CS 约束组的矩阵集合中的每一列一一对应; 另一种则是在创建数据流图的过程中创建的, 用于存储中间变量的结点。

RNode 是本论文所创建的数据流图的顶点的数据结构, 因此本论文中数据流图又叫 RNode Graph。

4.1.3 瓦片

瓦片这一概念借鉴了编译过程中指令选择中的概念。

在编译过程中, 首先将编译语言转换成中间表示语言树 (以下简称 IR 树) 后, 可以将一条机器指令表示成 IR 树的一段树枝。使用基于树的中间表示来实现指令选择的基本思想是, 用一些瓦片来覆盖 IR 树, 其中瓦片是与合法机器指令对应的树型。

与指令选取步骤中的概念类似, 瓦片也是整个由 R1CS 所构造出的数据流图的一个树状子图, 它与对数据流图分割完毕后的瓦片集合中的一个

元素相对应。在本论文所提出的算法中，也设计了一些合法的瓦片类型，并在瓦片分割阶段使用这些类型的瓦片来覆盖语法树。

在算法的后半部分，将以瓦片为单位进行数据流图的抽象、权重的计算以及 R1CS 约束的生成与调整。对于瓦片的合法类型将在后面的章节进行更加详细的介绍。

4.1.4 R1CS 范式

通过对约束的形式，变量约束的排序方式进行限制，我们在本论文中提出了 R1CS 的范式。总的来说，R1CS 约束组的范式需要满足以下几个要求：

1. 如果 R1CS 的范式约束组的某约束中含有变量与变量之间的乘法，那么该约束中不能含有其他运算符。
2. 如果 R1CS 的范式约束组中的某约束中不含变量与变量之间的乘法，那么该约束中不得含有由其他线性约束所生成的中间变量。
3. R1CS 的范式约束组中的约束以及变量的排序需要与本论文中所提出的方式的排序结果一致。

下面将通过具体约束的实例，解释为了从普通的约束组转化成 R1CS，需要根据每个要求做出什么调整。

要求 1 表明，对于 R1CS 约束组中过于复杂的二次约束，需要进行拆分。比如

$$\begin{aligned} a \times b + c + d = f &\implies a \times b = r, r + c + d = f \\ 5 \times a \times b = c &\implies 5 \times a = r, r \times b = c \end{aligned}$$

要求 2 表明，对于 R1CS 约束组中的线性约束，需要消去其中线性约束所定义的中间变量，并消除定义中间变量的线性约束。比如

$$a + b = c, c + d = e \implies a + b + d = e$$

要求 3 中排序的具体方式将在后续对算法的具体步骤介绍的章节中进行具体的介绍。

4.2 RNode Graph 的生成

本章节主要介绍从 R1CS 约束组生成 RNode Graph, 也就是数据流图的过程。在算法的过程中所建立的算式树相对传统算式树比较特殊。RNode Graph 生成主要分为三个步骤:

1. 将每一个约束按照 R1CS 约束需要满足的等式 $\langle \vec{s}, \vec{a} \rangle * \langle \vec{s}, \vec{b} \rangle = \langle \vec{s}, \vec{c} \rangle$ 转换为算式。
2. 将原 R1CS 约束组中每一个约束, 都化成这样的算式。
3. 将得到的得到一个以 DAG 形式存储的含有公共子式的算式树。

在本章节中通过两种方案的对比来体现最终所选择方案的优越性与便利性。

4.2.1 方案一：操作符和变量使用不同节点类型存储

将操作符和变量使用不同的顶点存储, 看起来比较符合逻辑, 但是在生成 R1CS 约束组对应的数据流图时, 却存在着比较明显的问题, 那就是在对于因为约束拆分或者合并的原因而产生的等价 R1CS 约束组时, 数据流图的结构会产生比较明显的变化。

图4-1展示了一个约束经过合并前后, 在该方案下数据流图产生的变化。将操作符和变量使用不同的定点类型存储, 生成数据流图的过程比较直观, 因为对于任何操作符的顶点, 他在数据流图中的前继和后续顶点确定起来比较方便, 但是由于约束拆分时会引入中间变量, 而这一变化将进而导致数据流图的结构发生变化, 进而导致后续瓦片分割以及抽象时的算法变得更加复杂, 实现难度更加大。

4.2.2 方案二：操作符和变量使用相同节点类型存储

将操作符和变量使用相同顶点类型储存, 在这一方案下, 一个节点既是一个操作符, 同时也代表着以它为根的算式子树的结果。虽然这样会使单一结点所需要存储的信息量增加, 但是, 这样的设计能显著减少约束间的合并与拆分对数据流图带来的结构上的变化。

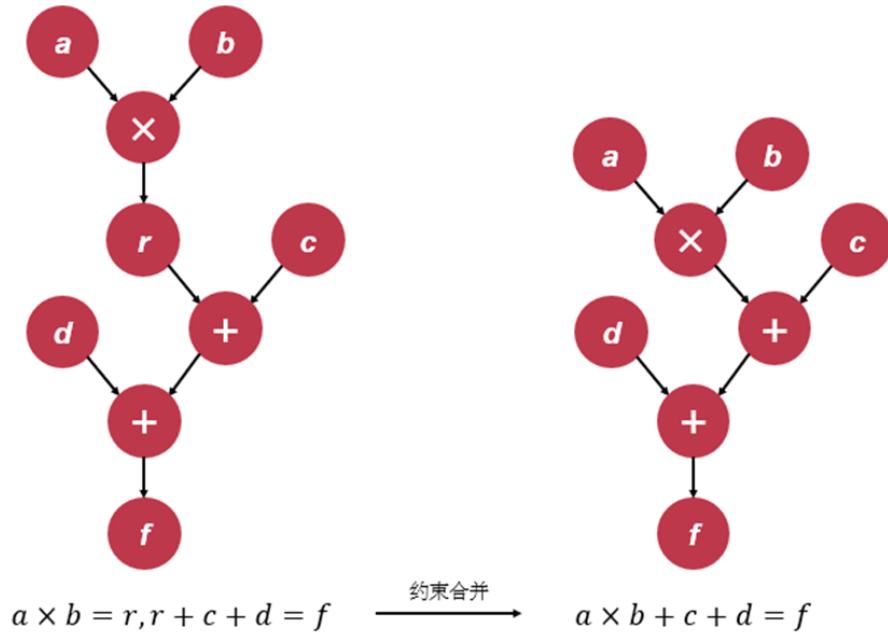


图 4-1 操作符和变量分开表示时约束合并与拆分对数据流图造成的影响

图4-2展示了一个约束经过合并前后,在该方案下数据流图产生的变化。月数组合并前数据流图中的 r 字母表示边上的乘法节点代表 r 这一中间变量。将操作符和变量使用相同的顶点类型存储,生成数据流图的过程较为复杂,在生成过程中需要通过相对复杂的几种顶点类型,但是这个方案相对于前述方案,能显著减少约束拆分合并时带来的中间变量选择的问题对数据流图结构上的影响,同时后续瓦片分割以及抽象时的算法也变得更加简单。

4.2.3 方案对比与分析

RNode 是我们在建立 RNode Graph 过程中用以储存 R1CS 约束组中各个变量的信息的数据结构。在 RNode 中,与一般的算式树中的节点不同,同时存储了变量和操作符的信息,这样也使每一个运算符的结果都能被看作是中间变量,这也与 R1CS 约束组的性质更加贴近。

约束组 B 中的第二个约束,实际上是将约束组 A 的后三个约束合并在

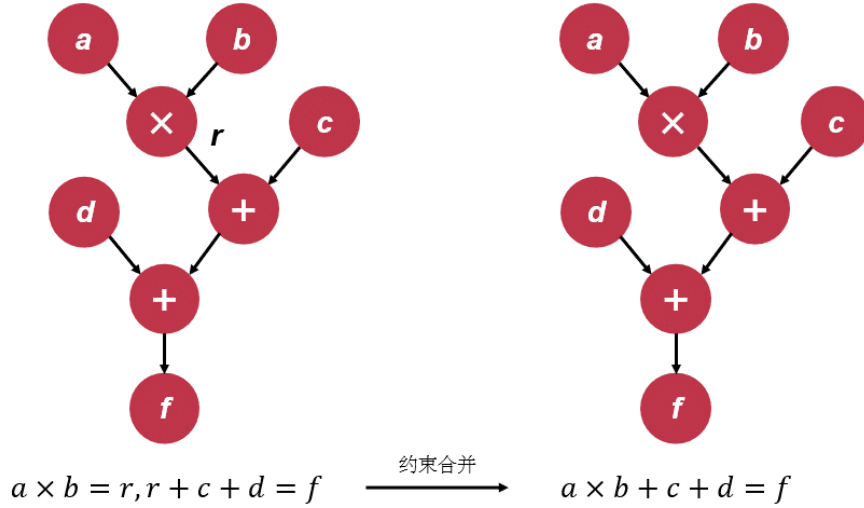


图 4-2 操作符和变量使用一种顶点表示时约束合并与拆分对数据流图造成的影响

一起，而在实际情况中这种约束之间的合并与拆分正是因为 R1CS 约束组等价性难以判别的原因之一，但是当我们观察两个生成的 RNode Graph, 可以发现这样的合并并没有带来明显的不同。这是由于当约束被合并时，在原约束组中会减去一个变量这个删去的过程如下所示

$$\begin{aligned}
 & \begin{pmatrix} 1 & 1 & 0 & 0 \\ 0 & 1 & 1 & 0 \end{pmatrix} \cdot \begin{pmatrix} 1 & 0 & 0 & 0 \\ 1 & 0 & 0 & 0 \end{pmatrix} = \begin{pmatrix} 0 & 0 & 1 & 0 \\ 0 & 0 & 0 & 1 \end{pmatrix} \\
 & \quad \downarrow \\
 & \begin{pmatrix} 1 & 2 & 0 & 0 \end{pmatrix} \cdot \begin{pmatrix} 1 & 0 & 0 & 0 \end{pmatrix} = \begin{pmatrix} 0 & 0 & 0 & 1 \end{pmatrix} \\
 & \quad \downarrow \\
 & \begin{pmatrix} 1 & 2 & 0 \end{pmatrix} \cdot \begin{pmatrix} 1 & 0 & 0 \end{pmatrix} = \begin{pmatrix} 0 & 0 & 1 \end{pmatrix}
 \end{aligned}$$

在这个过程中，合并前的约束组中的第二个约束中含有第一个约束产生的中间变量，因此可以将中间变量代入第二个约束中，并且删去第一个约束以及约束中中间变量相对应的系数，从而得到了一个等价的约束组。但是删去的这个变量会在建立 RNode Graph 时，作为连加式中的中间节点被加入到 RNode Graph 中。反之亦然。

图4-3展示了约束组 A 和约束组 B 生成的 RNode Graph。观察两个 RNode Graph，发现其主要的不同在于，在构造 $x^3 + x + 5 = out$ 这一线性约束时，相加的前后顺序不同，这是由于约束组中变量与下标的映射关系不同而导致在约束中的排序不同，而在这一阶段我们没有足够的信息去判别加法执行的顺序。约束组 A 中为 $(x^3 + x) + 5 = out$ ，而约束组 B 中为 $(x^3 + 5) + x = out$ 。因此对于这种情况，我们需要对 RNode Graph 进行进一步的抽象，以消除这一不同之处。

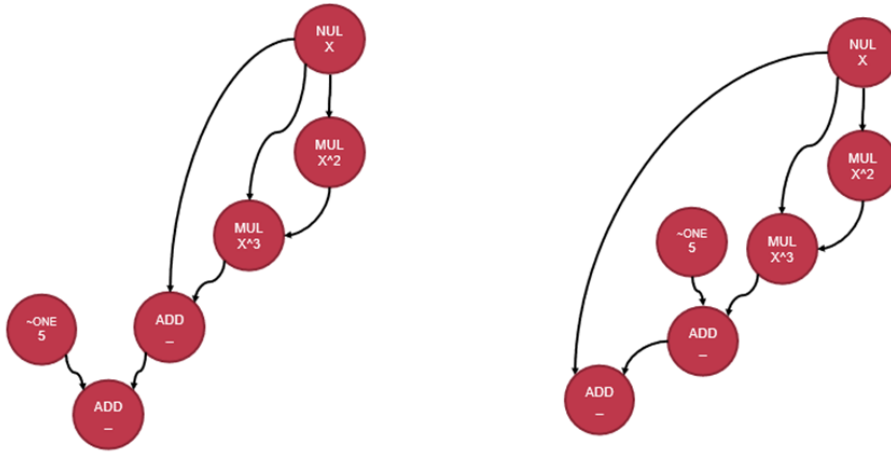


图 4-3 约束组 A 和约束组 B 生成的 RNode Graph

4.3 瓦片选取

本章节主要介绍从将上一个步骤生成的数据流图分割为瓦片的过程。这里主要将瓦片分成三个类型：

1. Quadratic: $x \times y = z$ 的瓦片，其中 x, y, z 均为变量。
2. MullLinear: 根节点由其两个父亲相乘得到的瓦片，两个父亲中至少有一个为常数，比如 $(5 \times x) \times 7 = z$ 。
3. AddLinear: 根节点由其两个父亲相加得到的瓦片，比如 $x^3 + 5 + x = z$ 。

三种瓦片的示意图如图4-4所示。Quadratic 类型的瓦片被限制在最简单的形式，只允许两个变量之间的相乘，并且不允许乘数与常数相乘。而线性约束则是尽可能的扩大范围，以消除约束中中间变量的存在。具体到算法中，线性的瓦片只有在遇见没有前继结点或者由 Quadratic 瓦片中表示结果的节点才会停止。论文中定义了两种线性瓦片 AddLinear 和 MullLinear。这两种瓦片本质上都由线性约束产生，都是线性瓦片，但是由于在算法处理上对于两个瓦片的逻辑完全不同，所以在此将其分为两个种类讨论。

在瓦片选择时，我们将上一个步骤中的数据流图分割成上述三种类型，这样选取有几个考虑方面：

1. 将约束合并步骤暂时搁置，待后续步骤获取树中的更多信息后再进行。
2. 产生未合并的范式后，如有产生合并范式的需求，只需在未合并的范式上应用固定算法即可，相对简单。
3. 瓦片选取的算法实现较为简单。

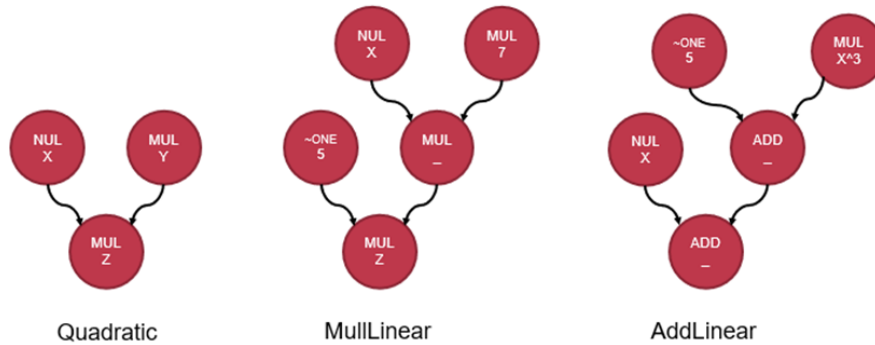


图 4-4 瓦片结构示意图

4.4 抽象数据流图的生成

本章节主要介绍以瓦片为基础，对数据流图进行抽象的步骤。

前面我们提到过, 等价的 R1CS 约束组所生成的数据流图其不同之处在于在处理线性瓦片时, 节点之间相加的顺序不同, 但是如果在瓦片分割步骤完成后, 在一个线性瓦片中所包含的相加的节点看成一个集合的话, 他们其实是等价的。也就是说, 相加顺序的不同, 在瓦片选取的过程中仅仅意味着将各节点加入线性瓦片的顺序的不同, 如果将选取好的线性瓦片视为其相加节点与其系数的乘积的集合, 那么等价 R1CS 约束组产生的数据流图所选出的线性瓦片之间显然是相同的。也即是说, 对于等价的 R1CS 约束组, 所选出的瓦片集合之间并不会存在不同之处。

图4-5和图4-6分别展示了瓦片分割算法中约束组 A 和约束组 B 所分割出的瓦片集合。

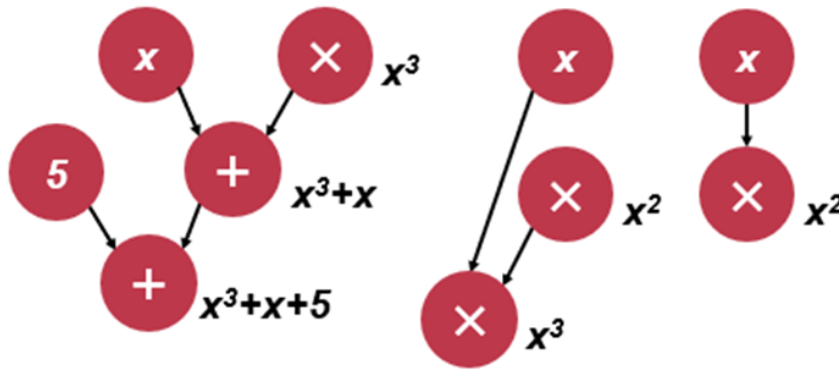


图 4-5 约束组 A 所分割出的瓦片集合

因此我们要以选出的瓦片为基础, 我们对数据流图进行再一次的抽象, 进一步消除了各个等价 R1CS 约束组在数据流图层面的不同。具体的步骤为对线性瓦片进行进一步的抽象, 将整个线性瓦片在数据流图中用一个抽象出的新节点代替。通过对线性瓦片的抽象, 我们对 RNode Graph 中线性瓦片外部的节点屏蔽了线性瓦片内部具体相加顺序的不同的差异, 让外部节点到线性瓦片中具体节点的联系, 变成到这个节点具体所属的瓦片的联系。这样一来, 之前数据流图中因为相加顺序不同导致的线性瓦片结构对数据流图的影响, 以及外部节点到线性瓦片节点中具体的节点的边对数据流图的影响, 都在线性瓦片抽象节点的建立后得到了统一。

抽象之后的数据流图与抽象前相比, 结构更加简单。在抽象后的图中

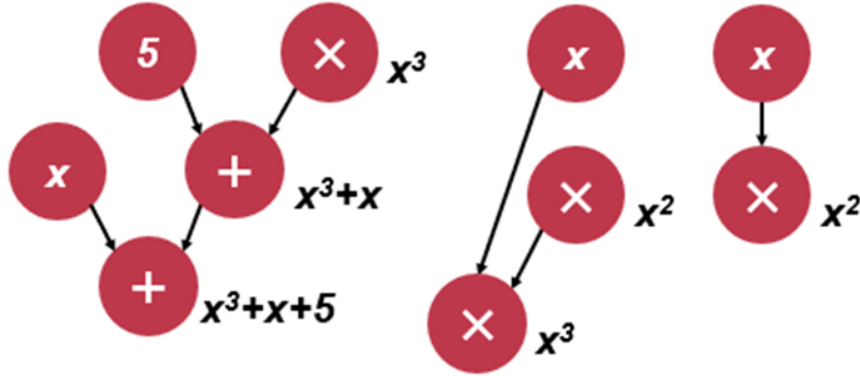


图 4-6 约束组 B 所分割出的瓦片集合

存在着两种类型的节点：

1. 在 Quadratic 瓦片中出现过的节点，将不用被抽象，保留在抽象后的数据流图中，因为它们不会收到线性瓦片内部具体结构的影响。
2. 线性瓦片所抽象出的节点，代表整个线性约束，但是向外界屏蔽了线性瓦片内部的具体结构。

而边的类型有以下几种：

1. 非线性瓦片抽象节点到非线性瓦片抽象节点：两个顶点在抽象前的数据流图中便已经存在。与抽象前的数据流图保持一致。
2. 非线性瓦片抽象节点到线性瓦片抽象节点：当且仅当抽象节点所代表的线性瓦片中存在非抽象节点时存在。
3. 线性瓦片抽象节点到线性瓦片抽象节点：当且仅当两个抽象节点所代表的线性瓦片存在公有的非抽象节点时存在。

约束组 A 和约束组 B 抽象后的数据流图是一模一样的，图4-7展示了他们经过抽象后的数据流图。

在图4-7所示的抽象后的数据流图中， $q0$ ， $q2$ 和 $q3$ 分别对应原来约束组中代表 x ， x^2 和 x^3 的 RNode 节点。可以看到 x 是 x^2 的前继节点，而 x 和 x^2 是 x^3 的后继节点。而 $l0$ 对应的是所分割出的线性瓦片 $x^3 + x + 5 = out$ ，

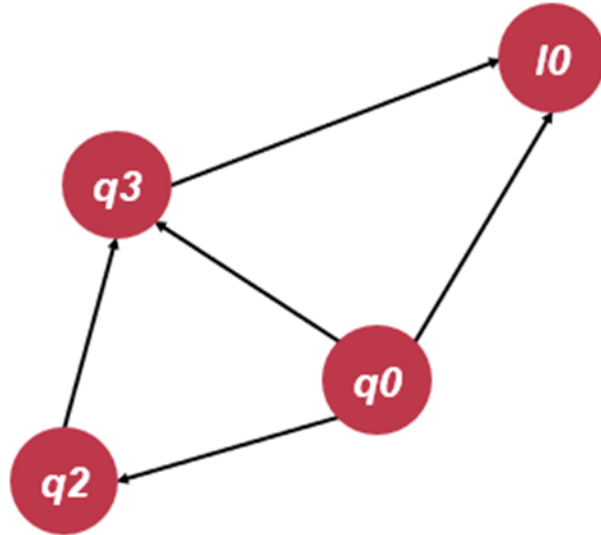


图 4-7 两个约束组抽象后的数据流图

由于在该约束中使用了 x 和 x^3 ，因此在数据流图中存在 $q0$ 和 $q3$ 到 $l0$ 的有向边。由于在抽象过程中，我们将外部节点到线性瓦片的内部结点的有向边，抽象成了到与线性瓦片相对应的抽象节点的边，在数据流图中消去了线性瓦片具体结构导致的图结构的不同，消除了等价等价 R1CS 约束组所产生的数据流图之间的不同，从而在计算各个约束权重的过程中得到一致的结果。

4.5 瓦片权重计算

在本步骤中，使用 Weighted PageRank 算法计算出抽象后的数据流图中各顶点的得分。

先前的步骤消除了等价 R1CS 所生成的数据流图的不同。通过对线性瓦片的抽象，我们得到了相同的抽象后的数据流图。

在本步骤中，将以瓦片为单位生成约束，还需要提出一个瓦片排序的准则，以便为所生成的约束进行排序。在本论文所提出的算法中，我们使用 Weighted PageRank 算法计算出抽象数据流图中每个节点的权重，进而以

结点的权重为基础计算瓦片相对应的约束的权重。相对于传统的 PageRank 算法，该算法为图中的每一条边都赋予了权重，并调整了节点权重的迭代公式。在 Weighted PageRank 算法中，节点得分的计算公式为

$$PR(u) = (1 - d) + d * \sum_{v \in B(u)} PR(v) W_{(u,v)}^{in} W_{(u,v)}^{out} \quad (4.2)$$

其中， $W_{(u,v)}^{in}$ 和 $W_{(u,v)}^{out}$ 分别是按照出度和入度计算的节点权重。

本算法使用 Weighted PageRank 的主要目的，是为了降低抽象后的数据流图的对称性。由于前一步骤中，对线性瓦片进行了简化，导致数据流图的结构得到了大幅度的简化，在图中的部分结构上存在对称的情况。如果用一般的算法计算图中节点的权重，在图结构中对称存在的节点，容易计算出相同的权重，对后续对约束以及排序的问题造成困扰，所以利用 Weighted PageRank 算法为不同的节点计算出权重，增加图的不对称性，从而尽可能避免相同得分的出现。

在本算法中，对 Weighted PageRank 中得分迭代公式进行了进一步的调整。将原数据流图中保留的节点权重设为 1，而对于由线性约束抽象而来的节点，我们通过一系列步骤计算其权重。首先，对于线性约束

$$\sum_{i=1}^n a_i b_i = c \quad (4.3)$$

将其转化为

$$\sum_{i=1}^n a_i b_i - c = 0 \quad (4.4)$$

最后使用归一化后的系数的方差来充当该线性约束的抽象节点的权重

$$W = \frac{\sum_{i=1}^n \left(a_i - \frac{\sum_{i=1}^n a_i - 1}{n+1} \right)^2 + \left(-1 - \frac{\sum_{i=1}^n a_i - 1}{n+1} \right)^2}{\left(\frac{\sum_{i=1}^n a_i - 1}{n+1} \right)^2} \quad (4.5)$$

在本算法中 Weighted PageRank 算法的节点得分迭代公式为

$$PR(u) = (1-d) + d * \sum_{v \in B(u)} PR(v) W_u W_v \quad (4.6)$$

计算出各节点的得分后，以得分的高低确定 R1CS 范式中各约束的排序情况。

4.6 约束生成

在这一步骤中，将以前一个步骤中计算出的数据流图中顶点的权重为基础，按次序对瓦片生成的约束进行排序。在抽象后的数据流图中，存在两种节点，一种是抽象前即存在的、代表变量的节点，另一种是线性瓦片的抽象节点。

对于线性瓦片，可以直接使用其对应抽象节点在 PageRank 算法所计算出的得分作为线性约束的权重。但是对于二次瓦片，在数据流图中并没有直接对应的节点。但是由于我们对二次瓦片的分割进行了严格的控制，所以二次瓦片的形式一定是由三个代表变量的顶点组成：两个代表乘数、一个代表乘积。同时在二次瓦片中出现过的顶点也均在抽象过程之后得到了保留。于是可以通过

$$W(tile) = \frac{\sum_{node \in tile} W(node)}{3} \quad (4.7)$$

来计算出二次瓦片的权重。

在这一阶段，通过二次瓦片确定了一部分的变量的排序。在 R1CS 范式的三元矩阵组中，与二次约束相对应的三个行向量均各自只有一个非零

系数，但是在矩阵 A 和矩阵 B 中，对应的两个行向量在约束表示中是等价的，这也与乘法的交换率相符。这就导致对同一二次约束，有两种等价的表达。图4-8展示了一个二次约束等价表达的例子。

$$\begin{aligned}
 & a \times b = c \\
 & \text{variable mapping} = (\sim one, a, b, c) \\
 & A = (0 \quad 1 \quad 0 \quad 0) B = (0 \quad 0 \quad 1 \quad 0) C = (0 \quad 0 \quad 0 \quad 1) \\
 & A = (0 \quad 0 \quad 1 \quad 0) B = (0 \quad 1 \quad 0 \quad 0) C = (0 \quad 0 \quad 0 \quad 1)
 \end{aligned}$$

图 4-8 二次约束的两种等价表达

由于在抽象的数据流图中保留了所有的代表在二次约束中出现过的变量的顶点，所以可以依靠各个变量的权重来确定 R1CS 范式的三元矩阵组中矩阵 A 和矩阵 B 中对应的两个行向量中非零系数的选择。具体到算法中，权重更高的变量被分配至矩阵 A 中，并且会在变量映射中被分配更小的下标。

对二次约束中出现过的变量在变量映射中的排序规则可总结如下：

1. 以变量出现过的所有二次约束的权重中的最高值为基准进行排序，最高值更高的变量在变量映射中会拥有更小的下标。
2. 在同一约束中出现的且权重最高值相同的变量，以数据流图中与变量相对应的节点在 Weighted PageRank 算法中的得分为基准进行排序，节点得分更高的变量在变量映射中会拥有更小的下标，并会被分配至矩阵三元组中的矩阵 A 的对应行向量中。

4.7 对线性约束的调整

本步骤中对只在线性约束中出现过的变量进行排序。

在瓦片划分步骤中，确定了 R1CS 范式中约束的划分；在瓦片权重计算的步骤中，确定了 R1CS 范式中约束的排序方式；在前一步骤中，确定了在二次约束中出现过的变量在变量映射中的位置。因此，距离最终的 R1CS

范式生成,只剩下那些只在线性约束中出现过的变量在变量映射中的位置还没有确定。这也是正常的现象,因为在对数据流图的抽象步骤中,消去了线性变量的内部具体结构对整体数据流图结构的影响。所以在之前的步骤中,没有足够的信息对其中的变量进行排序。

这种信息的缺失也会导致当在一个线性约束中引入多个变量时,新变量在变量映射中的顺序可能会出现混乱。图4-9展现了该情况下的一个例子。

$$\begin{aligned}
 A &= \begin{pmatrix} 0 & 1 & 0 & 0 & 0 & 0 \\ 0 & 1 & 0 & 0 & 0 & 0 \\ 5 & 1 & 0 & 1 & 2 & 1 \end{pmatrix} B = \begin{pmatrix} 0 & 0 & 1 & 0 & 0 & 0 \\ 0 & 1 & 0 & 0 & 0 & 0 \\ 1 & 0 & 0 & 0 & 0 & 0 \end{pmatrix} C = \begin{pmatrix} 0 & 0 & 0 & 1 & 0 & 0 \\ 0 & 0 & 1 & 0 & 0 & 0 \\ 0 & 0 & 0 & 0 & 0 & 0 \end{pmatrix} \\
 A &= \begin{pmatrix} 0 & 1 & 0 & 0 & 0 & 0 \\ 0 & 1 & 0 & 0 & 0 & 0 \\ 5 & 1 & 0 & 1 & 1 & 2 \end{pmatrix} B = \begin{pmatrix} 0 & 0 & 1 & 0 & 0 & 0 \\ 0 & 1 & 0 & 0 & 0 & 0 \\ 1 & 0 & 0 & 0 & 0 & 0 \end{pmatrix} C = \begin{pmatrix} 0 & 0 & 0 & 1 & 0 & 0 \\ 0 & 0 & 1 & 0 & 0 & 0 \\ 0 & 0 & 0 & 0 & 0 & 0 \end{pmatrix}
 \end{aligned}$$

图 4-9 单线性约束中引入多个新变量时引起的变量顺序混乱

因此对于这类变量,本文提出了新的权重排序方式,公式为:

$$W(u, t') = \sum_{t \in T(u) - \{t'\}} |field(u, t) \times W(t)| \quad (4.8)$$

其中, u 表示需要计算权重的新节点, t' 表示当前引入 u 这一新节点的约束对应的瓦片。 $W(u)$ 表示节点 u 的权重, $T(u)$ 表示包含节点 u 的瓦片, $field(u, t)$ 表示在瓦片 t 中节点 u 的系数。

也就是说在每一个新加入的线性瓦片中,对于每一个新引入的变量,其权重是除去本身线性瓦片以外的其他线性瓦片中该变量的系数和该瓦片权重的乘积的绝对值之和。对于只在线性约束中使用过的节点在变量映射中的排序规则可总结如下:

1. 在该线性约束中,权重更高的新节点在变量映射中对应的下标更加小。
2. 对于权重相同的节点,进一步比较其在线性约束中的系数,系数更大的新节点在变量映射中对应的下标更小。

在线性约束中引入的新变量，在其它线性瓦片中出现的情况某种程度上反映了其在整个约束组中的重要程度。同时如果出现多个变量的权重相同的情况，那么说明很大可能下这些变量出现的线性约束相同，并且在这些线性约束中的系数也是相同的，那么这种情况下，这些变量在映射中的顺序对整个 R1CS 范式其实是没有影响的。图4-10展示了这种情况的一个例子。

$$\begin{aligned}
 & \text{variable mapping} = (\sim one, x, x^2, x^3, a, b) \\
 & A = \begin{pmatrix} 0 & 1 & 0 & 0 & 0 & 0 \\ 0 & 1 & 0 & 0 & 0 & 0 \\ 5 & 1 & 0 & 1 & 2 & 2 \\ 4 & 2 & 0 & 0 & 3 & 3 \end{pmatrix} B = \begin{pmatrix} 0 & 0 & 1 & 0 & 0 & 0 \\ 0 & 1 & 0 & 0 & 0 & 0 \\ 1 & 0 & 0 & 0 & 0 & 0 \\ 1 & 0 & 0 & 0 & 0 & 0 \end{pmatrix} C = \begin{pmatrix} 0 & 0 & 0 & 1 & 0 & 0 \\ 0 & 0 & 1 & 0 & 0 & 0 \\ 0 & 0 & 0 & 0 & 0 & 0 \\ 0 & 0 & 0 & 0 & 0 & 0 \end{pmatrix} \\
 & \text{variable mapping} = (\sim one, x, x^2, x^3, b, a) \\
 & A = \begin{pmatrix} 0 & 1 & 0 & 0 & 0 & 0 \\ 0 & 1 & 0 & 0 & 0 & 0 \\ 5 & 1 & 0 & 1 & 2 & 2 \\ 4 & 2 & 0 & 0 & 3 & 3 \end{pmatrix} B = \begin{pmatrix} 0 & 0 & 1 & 0 & 0 & 0 \\ 0 & 1 & 0 & 0 & 0 & 0 \\ 1 & 0 & 0 & 0 & 0 & 0 \\ 1 & 0 & 0 & 0 & 0 & 0 \end{pmatrix} C = \begin{pmatrix} 0 & 0 & 0 & 1 & 0 & 0 \\ 0 & 0 & 1 & 0 & 0 & 0 \\ 0 & 0 & 0 & 0 & 0 & 0 \\ 0 & 0 & 0 & 0 & 0 & 0 \end{pmatrix}
 \end{aligned}$$

图 4-10 不同变量映射下，单线性约束中引入多个权重相同的新变量

4.8 本章小结

本章主要介绍了 R1CS 范式生成算法的具体流程，并且通过两个等价 R1CS 约束组为例展示了等价约束组之间的不同之处是如何被消除的，同时对 R1CS 约束组中变量和约束的排列方式提出了一系列标准

在本章节介绍的算法中，R1CS 约束组首先被转化成一个类似于含有共有子式的算式树的数据流图；随后规定了瓦片的合法形式，并设计了图分割算法以将前一步骤中生成的数据流图分割为若干个合法形式的瓦片，确定了 R1CS 范式中约束的划分；然后以瓦片为单位，数据流图被进一步的抽象，消除了等价的 R1CS 约束组生成的数据流图中结构的不同；随后在抽象的数据流图上应用了 Weighted PageRank 算法，计算出了各个瓦片与其对应约束的权重；最后根据约束的类型以及权重确定了 R1CS 范式中约束的排列情况；并且对于不同约束中出现的变量提出了不同的权重计算规则，并确定了 R1CS 范式中变量映射的顺序。

第五章 实验

本章节主要介绍了本论文中所设计的测试集，并且展示了所实现算法在数据上的测试效果。

5.1 测试集设计

为了评估本论文中提出的算法, 我们使用 python 实现了范式生成的整个过程来验证结果。进行的模拟包括五个主要活动:

1. 从任意 R1CS 约束组生成 RNode Graph。
2. 从 RNode Graph 中选取瓦片的集合。
3. 以瓦片为基础对 RNode Graph 进行抽象化处理。
4. 计算瓦片的权重, 以便后续对 R1CS 范式中的变量进行排序。
5. 由瓦片生成 R1CS 范式。

由于相关研究的缺失, 目前该领域并没有一个非常完备的测试集。于是通过主流数字电路编译器生成 R1CS 约束组的底层逻辑代码, 以及在算法测试过程中发现的一些问题, 对等价 R1CS 约束组生成的规律进行了更加细致的归纳与划分, 并根据得出的规律设计出了一个较为完备的约束组。根据所反映的情形不同, 测试集中包含以下几个主要类别:

1. R1CS 中变量顺序的替换。
2. R1CS 中约束顺序的变换。
3. R1CS 中单个线性约束中多个新变量的引入。
4. R1CS 中多个线性约束中多个新变量的引入且存在新变量共用的情况。
5. R1CS 中约束的合并与拆分。

测试组中不同的类别对应的总结出的是等价 R1CS 约束组生成的不同原因。经过测试，等价 R1CS 约束组的差别在对 RNode Graph 进行抽象后均会被消除。同时后续的 Weighted PageRank 算法也能正确地计算出约束与变量的权重序列，进而确定 R1CS 范式中约束和变量的排列顺序。在实验中，所有实例均被正确转化到了唯一且符合定义的范式。

5.2 测试结果展示与分析

表5-1展示了实验结果的数据。

表 5-1 R1CS 等价约束组转化实验结果

等价 R1CS 约束生成原因	实验组数	成功生成组数	通过率
R1CS 中变量顺序的替换。	55	55	100%
R1CS 中约束顺序的变换。	21	21	100%
R1CS 中单个线性约束中多个新变量的引入。	15	15	100%
R1CS 中多个线性约束中多个新变量的引入且存在新变量共用。	15	15	100%
R1CS 中约束的合并与拆分。	6	6	100%

从实验结果上看，本论文设计的基于数据流的范式生成算法能检测到多种情况的产生的等价 R1CS 约束组，并且能将它们转化至统一的范式。经过检查，所生成的范式均符合本文所定义的要求，并且语义与转化前的 R1CS 约束组均相同。

通过对转化过程各阶段的中间输出进行分析。发现对于由交换约束顺序生成的等价 R1CS 约束组，所生成的数据流图的不同之处在于，图中代表中间变量的节点的创建顺序不同，这是由于遍历约束组时，对各约束的处理顺序的不同，会导致引入各个约束中的中间变量的顺序不同。

而由变量顺序的替换产生的等价 R1CS 约束组，其不同之处在于图中代表初始变量的节点的生成顺序不同。以及线性约束中变量顺序的不同，导致的连加链结构中相加的先后顺序不同，但是这些变化均未导致所选取的瓦片集合的不同，并且在抽象后，得到了相同的数据流图。

在线性约束中引入多个新变量产生的等价 R1CS 约束组，均在对线性约束组进行抽象操作后得到了相同的数据流图，并且在对新引入变量进行排序时也得到了与定义相符合的变量映射序列。

由约束的合并与拆分产生的等价 R1CS 约束组，其产生的数据流图的不同之处在于代表中间变量的顶点所代表的到底是初始存在的变量，还是在创建数据流图过程中引入的中间变量。但是这并未对数据流图的结构造成影响。对线性约束的拆分与合并引起了数据流图中连加链的相加顺序的变化，但是也在对数据流图进行抽象后得到解决。

5.3 本章小结

本章节主要介绍了等价 R1CS 的测试集的设计策略以及算法的实验结果，并且对算法各阶段的中间输出进行了进一步的分析与说明，均得到了与设计阶段相符合的结果。

第六章 全文总结

6.1 主要结论

本论文中设计一个基于数据流的 RICS 范式生成算法为主要研究线路。算法的具体流程如图6-1所示。算法的具体流程如下所述。

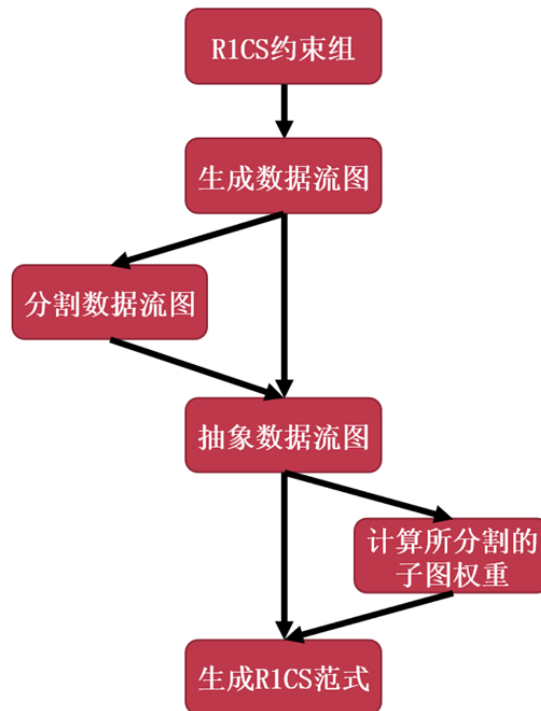


图 6-1 范式生成算法具体流程

首先根据输入的 RICS 约束组，将约束组中的每一个约束生成算式树，再将这些算式树合并。最终生成了一个带有公共子式的以 DAG 形式存储的算式树。

其次，在数据流图的基础上实现了瓦片选取算法。实现了 RICS 范式中各个约束的选取方式。这里我主要将瓦片分成三个类型：

1. Quadratic: $x \ y = z$ 的瓦片，其中 x, y, z 均为变量。

2. **MulLinear**: 根节点由其两个父亲相乘得到的瓦片, 两个父亲中至少有一个为常数, 比如 $(5 \times x) \times 7 = z$ 。
3. **AddLinear**: 根节点由其两个父亲相加得到的瓦片, 比如 $x^3 + 5 + x = z$ 。

然后, 在数据流图的基础上, 以瓦片的选取为参考, 对数据流图进行再一次的抽象, 进一步消除了各个等价 **RICS** 约束组在数据流图层面的不同。对线性瓦片进行进一步的抽象, 将他在数据流图中用一个抽象出的新节点代替。也就是对自身以外的节点, 屏蔽线性瓦片内部相加的顺序, 让外部节点到线性瓦片中具体节点的联系, 变成到这个节点具体所属的瓦片的联系。而在这一抽象后的数据流图中, 边的类型有以下几种:

1. 非线性瓦片抽象节点到非线性瓦片抽象节点: 两个顶点在抽象前的数据流图中便已经存在。与抽象前的数据流图保持一致。
2. 非线性瓦片抽象节点到线性瓦片抽象节点: 当且仅当抽象节点所代表的线性瓦片中存在非抽象节点时存在。
3. 线性瓦片抽象节点到线性瓦片抽象节点: 当且仅当两个抽象节点所代表的线性瓦片存在公有的非抽象节点时存在。

接下来的步骤是参考相关论文, 利用改进后的 **Weighted PageRank** 算法, 计算出所选出的各个瓦片的权重。在对数据流图进行进一步的抽象之后, 整个图看起来简单多了, 节点和边的数量也变少了很多。在具体的约束组中比较容易出现一些对称的情形, 进而会让一些节点在算法中得到相同的权重。让后续的约束的排序变得比较困难。所以参考了一些文献中的做法, 使用了加权 **PageRank** 算法。使用线性瓦片中系数归一化后的方差作为数据流图中边的权重, 极大地降低了抽象后的数据流图的对称性。

最后, 将各个瓦片分别生成 **RICS** 的范式, 并按照前部所计算出的节点权重对约束和变量进行排序。至此, 约束组中约束的划分与约束的排序已经确定, 在二次约束中出现过的变量的排序也已经排序完毕。但是由于在对数据流图的抽象过程中, 线性约束的具体内部结构被忽略。因此在这个步骤中还需要对线性瓦片中新出现的变量的排序进行调整。替每一个在线

性瓦片中新加入的变量计算权重, 其权重的计算方式为除去本身线性瓦片以外的其他所有线性瓦片中, 自己的系数和线性瓦片权重的乘积的绝对值之和。然后便可以对新引入的变量进行排序, 首先比较变量的权重, 如果一致, 再对本身在线性瓦片中的系数进行排序。在线性瓦片中引入的新变量, 在其他 Linear 瓦片中出现的情况某种程度上反映了其在整个约束组中的重要程度。同时如果某些新变量只在本身的约束中出现, 他们的权重都将为 0。并且他们的排序只会对自身的线性瓦片所产生的约束产生影响, 并不会改变其他约束的顺序, 所以只需将他们按照系数降序排序即可。

以往对 R1CS 的研究往往都是直接对原始约束组进行可满足性研究, 但本文首次创新性地提出了以数据流为基础的 R1CS 范式生成算法。从数据流的角度出发, 研究等价 R1CS 约束组之间的内在联系, 并提出了多条对 R1CS 范式中约束以及变量各方面性质的要求与规则, 定义了 R1CS 范式的形式。

除此之外, 本文还根据主流电路语言编译器的内在逻辑, 总结并归纳了等价 R1CS 约束组生成的几种不同的类型。最终根据产生的规则整理出了首个等价 R1CS 相关的测试集。并且在测试集上对本论文提出的算法进行测试, 在各种情形下, 本算法均能将 R1CS 约束组转化至唯一且符合定义的 R1CS 范式。

6.2 研究展望

本文虽然提出了 R1CS 的范式并实现了转化算法, 且通过测试验证了算法的实用性, 但仍然存在着诸多限制。

首先, 在本文所提出的算法中瓦片分割的步骤, 所规定的合法瓦片形式中将二次约束的形式限定在了最简单的形式, 同时, 保留了线性约束中由二次约束产生的中间变量, 而没有进行最后的约束合并操作。这就导致 R1CS 范式中仍然存在着许多可以消去的约束以及中间变量。未来研究中应该进一步对约束之间的合并提出新的规则, 使得最终生成的 R1CS 范式的矩阵三元组更加紧凑, 所使用的空间更加地高效; 或者提出更加复杂的瓦片范例, 在分割阶段就将可以合并的约束划分到一个瓦片中。

同时, 测试集仍然不够完备。由于相关领域研究的缺失, 并不存在一个公认的较完备的测试集。本论文所使用的测试集是根据主流编译器底层的

约束生成逻辑中与电路语言具体实现相关的部分所整理。由于时间与精力有限，并没有对所有电路语言编译器的底层逻辑进行详细分析与总结，整理而出的测试集也难免存在纰漏。希望未来能在进一步的总结的基础上，提出规模更大、形式更加完整的等价 R1CS 约束集。

其次，算法的效率不高。本论文所实现的算法步骤较为繁琐，且存在可以并行的部分，比如数据流图的生成与瓦片划分。并且在算法的某一阶段，内存中存在着两幅数据流图，一幅是最初阶段生成的，另一幅是瓦片分割阶段所存储的瓦片，即数据流图子图的集合。这样的冗余必然带来内存上的浪费。希望未来能在保证算法正确性的基础上，对可并行步骤的执行进行进一步的优化，提高算法执行的效率，并且加强内存管理，减少算法运行时所占用的资源。

最后，本算法是在数据流图阶段对数据流图进行进一步的抽象，以消除等价 R1CS 约束组产生的数据流图之间的不同。但如果可以对所创建的数据流图提出范式，将等价的 R1CS 约束组所产生的数据流图归约到相同的形式，那么便可以对数据流图直接进行分割，并生成 R1CS 范式，大大简化算法的流程，提高算法的效率。

本论文所提出的 R1CS 的范式，旨在解决 R1CS 可合并性较差的问题，并提高对 R1CS 约束组正确性检验的效率。未来将在通过 R1CS 范式限制 R1CS 约束组的表达形式的基础上，限制原本高自由度的 R1CS 约束组的表达。依照 R1CS 范式特殊的形式与特性，提出一系列合并的规则，实现电路语言片段所生成的 R1CS 约束组之间的合并与拆分。

符号与标记（附录 1）

攻读学位期间学术论文和科研成果目录

[1] 张三, 李四. (已录用)

致 谢

致谢主要感谢导师和对论文工作有直接贡献和帮助的人士和单位。致谢言语应谦虚诚恳，实事求是。

DATA FLOW BASED NORMALIZATION GENERATION ALGORITHM OF R1CS FOR ZERO-KNOWLEDGE PROOF

Zero-knowledge proof is increasingly recognized for its importance in modern society as more and more cryptographic communities seek to address some of the blockchain's most significant challenges: privacy and scalability. From both user and developer perspectives, the heightened emphasis on information privacy and security has led to a greater appreciation for the privacy advantages offered by zero-knowledge proofs. As decentralized finance (DeFi) usage continues to grow, zero-knowledge applications that offer scalability and privacy advantages will have more opportunities to increase industry-wide adoption. However, not all computational problems can be directly addressed using zero-knowledge proofs. Instead, we must transform the problem into the correct form of computation, known as a "Quadratic Arithmetic Program (QAP)." In the specific process of a first-order zero-knowledge proof, we first convert the problem into Circom language, then into R1CS constraints, and finally from constraints to the QAP form.

However, the conversion from Circom to R1CS constraints in the underlying toolchain of zero-knowledge proofs faces many limitations, with the primary issue being poor mergeability of R1CS. When merging A and B, the resulting R1CS has no formal relationship with the independently generated R1CS of A and B. This limitation is related to the inherent expressive power constraint of R1CS, where the program can generate multiple equivalent R1CS constraints. Therefore, it is necessary to propose a canonical form for R1CS constraints to facilitate the determination of equivalence and correctness for different R1CS constraints. This proposal would greatly benefit us in verifying program equivalence and correctness, including further research into the mergeability of R1CS.

This paper proposes a data flow-based algorithm for generating normalization of R1CS, which enables the conversion of different R1CS constraints into a unique normal form, facilitating the determination of equivalence and correctness. The flow of the algorithm is described below.

First, an arithmetic tree is generated for each constraint in the constraint group based on the input R1CS constraint group, and then these arithmetic trees are merged. The result is an arithmetic tree with common subformulas stored as a DAG.

Next, a tile selection algorithm is implemented on the basis of the data flow graph. The way in which each constraint in the R1CS paradigm is selected is implemented. Here I have divided the tiles into three main types:

1. Quadratic: tiles with $x \times y = z$, where x, y, z are all variables.
2. MulLinear: tiles whose root node is obtained by multiplying its two fathers, where at least one of the two fathers is a constant, e.g. $(5 \times x) \times 7 = z$.
3. AddLinear: the tile obtained by adding the root node by its two fathers, e.g. $x^3 + 5 + x = z$.

The dataflow graph is then further abstracted with the selection of tiles as a reference, further eliminating the differences between the various equivalent R1CS constraint groups at the dataflow graph level. A further abstraction of the linear tile replaces him in the dataflow graph with an abstracted new node. In other words, the node outside itself is blocked from the order of summation within the linear tile, so that the connection from an external node to a specific node in the linear tile becomes a connection to the specific tile to which the node belongs. In this abstracted dataflow graph, the types of edges are as follows:

1. Non-linear tile abstraction node to non-linear tile abstraction node: the two vertices already exist in the pre-abstraction dataflow graph. Consistent with the dataflow graph before abstraction.
2. Non-linear tile abstraction node to linear tile abstraction node: exists if and only if there are non-abstraction nodes in the linear tile represented by the abstraction node.
3. Linear tile abstraction node to linear tile abstraction node: exists when and only if there is a common non-abstraction node in the linear tile represented by the two abstraction nodes.

The next step is to calculate the weights of the selected individual tiles using the improved Weighted PageRank algorithm, referring to the relevant papers. After further abstraction of the dataflow graph, the whole graph looks much simpler and the number of nodes and edges becomes much smaller. It is easier to have some symmetry in the specific set of constraints, which in turn will allow some nodes to receive the same weight in the algorithm. This makes the subsequent ordering of the constraints more difficult. Therefore, the weighted PageRank algorithm is used, taking into account some practices in the literature. Using the normalised variance of the coefficients in a linear tile as the weights of the edges in the dataflow graph greatly reduces the symmetry of the abstracted dataflow graph.

Finally, the paradigms of R1CS are generated separately for each tile and the constraints and variables are ranked according to the node weights computed in the previous section. At this point, the division of constraints and the ordering of constraints in the constraint group has been determined, and the ordering of variables that have appeared in the secondary constraints has also been ordered. However, the specific internal structure of the linear constraints has been ignored in the abstraction of the data flow graph. Therefore the ordering of the newly appearing variables in the linear tile also needs to be adjusted in this step. The weights are calculated for each newly introduced variable in the linear tile as the sum of the absolute values of the products of their own coefficients and the linear tile weights in all linear tiles except their own. The newly introduced variables can then be ranked by first comparing the weights of the variables, and if they are consistent, then ranking their own coefficients in the linear tile. The presence of a new variable in a Linear tile in other Linear tiles is somewhat reflective of its importance in the overall constraint set. Also if some of the new variables only appear in their own constraints, they will all have a weight of 0. And their ordering will only have an effect on the constraints generated by their own Linear tiles, and will not change the order of the other constraints, so it is sufficient to order them in descending order of coefficients.

In addition, based on the constraint generation logic of mainstream com-

pillers and the expressiveness of R1CS, we classify and summarize the reasons and characteristics of the different equivalent R1CS generated. The reasons includes the following main categories depending on the reflected situation:

1. Replacement of variable order in R1CS.
2. Transformation of constraint order in R1CS.
3. Introduction of multiple new variables in a single linear constraint in R1CS.
4. Introduction of multiple new variables in multiple linear constraints in R1CS, with shared new variables.
5. Merging and splitting of constraints in R1CS.

Moreover, based on the identified reasons for producing equivalent R1CS, we create a relatively complete benchmark. The experimental results show that the data flow-based paradigm generation algorithm designed in this thesis is able to detect equivalent R1CS constraint sets generated for multiple cases and transform them to a unified paradigm. After inspection, the generated paradigms all conform to the requirements defined in this paper, and the semantics are all identical to the R1CS constraint sets before transformation.

The intermediate outputs from each stage of the transformation process were analysed. It is found that for the equivalent R1CS constraint sets generated by the order of swapping constraints, the difference in the generated data flow graphs is that the nodes representing intermediate variables in the graphs are created in a different order, which is due to the different order of processing each constraint when traversing the constraint sets, which leads to a different order of intermediate variables introduced into each constraint.

In contrast, the equivalent R1CS constraint groups resulting from the substitution of variable order differ in the order in which the nodes representing the initial variables in the graph are created. As well as the different order of variables in the linear constraint, resulting in a different order of summation in the concatenated additive chain structure, none of these variations resulted in a different set of selected tiles and, after abstraction, resulted in the same data flow graph.

The equivalent R1CS constraint sets resulting from the introduction of multiple new variables into the linear constraints all yielded the same dataflow graph after the abstraction operation on the linear constraint sets and also yielded a sequence of variable mappings that matched the definition when the newly introduced variables were sorted.

The difference between the equivalent R1CS constraint groups resulting from the merging and splitting of constraints is whether the vertices representing the intermediate variables represent variables that were initially present or intermediate variables introduced during the creation of the data flow graph. However, this has no impact on the structure of the data flow diagram. The splitting and merging of linear constraints caused a change in the summation order of the concatenated chains in the data flow diagram, but this was also resolved by abstraction of the data flow diagram.

Currently, our proposed algorithm can pass all test cases in the benchmark, meaning that equivalent R1CS can be converted into a unique and identical canonical form under various circumstances.

This work contributes to R1CS optimization by providing a novel algorithm for generating canonical forms of equivalent R1CS constraints. Our algorithm improves existing methods by eliminating unnecessary redundancy and normalizing representation, thus facilitating the analysis of equivalence and correctness. Furthermore, our benchmark comprehensively evaluates the proposed algorithm, demonstrating its effectiveness and practicality.